

# AlGaN/GaN-СВЧ НЕМТ-транзисторы с пробивным напряжением выше 100 В и с предельной частотой усиления по мощности $f_{\max}$ до 100 ГГц

© В.Г. Мокеров<sup>¶</sup>, А.Л. Кузнецов, Ю.В. Федоров, Е.Н. Енюшкина, А.С. Бугаев,  
А.Ю. Павлов, Д.Л. Гнатюк, А.В. Зуев, Р.Р. Галиев, Е.Н. Овчаренко,  
Ю.Н. Свешников\*, А.Ф. Цацульников<sup>+</sup>, В.М. Устинов<sup>+</sup>

Институт сверхвысокочастотной полупроводниковой электроники Российской академии наук,  
117105 Москва, Россия

\* ЗАО Элма-Малахит-Концерн Энергомера,  
124460 Зеленоград, Россия

+ Санкт-Петербургский Физико-технологический научно-образовательный центр Российской академии наук,  
194021 Санкт-Петербург, Россия

(Получена 4 сентября 2008 г. Принята к печати 22 сентября 2008 г.)

Исследованы AlGaN/GaN НЕМТ — (High Electron Mobility Transistor) — транзисторы с секционированными затворами, с различными длинами затворов  $L_g$  от 170 нм до 0.5 мкм и с их ширинами  $W_g = nW_g^n$  (где  $W_g^n$  — ширина секций и  $n$  — их количество) от 100 до 1200 мкм. По измеренным S-параметрам определены предельные частоты усиления по току  $f_t$ , по мощности  $f_{\max}$  и коэффициенты усиления MSG/MAG на частотах 10, 20 и 30–40 ГГц. Исследована зависимость частоты  $f_t$  от длины затвора. При  $L_g = 170$  нм  $f_t$  достигает 48 ГГц. Проанализированы зависимости частоты  $f_{\max}$  от размеров затворов и их топологии. С уменьшением  $L_g$  и  $W_g^n$   $f_{\max}$  растет и при  $L_g = 170$  нм и  $W_g = 100$  мкм достигает 100 ГГц. Найдены оптимальные значения ширин затворов  $W_g$  и выходной мощности базовых транзисторов для различных частот. В разработанной 170 нм-AlGaN/GaN-НЕМТ-технологии сочетаются и высокие частотные характеристики ( $f_{\max} = 100$  ГГц) и большие пробивные напряжения (115 В), что делает ее привлекательной для функционирования на частотах до 40 ГГц.

PACS: 73.61.Ey, 84.37.+q, 84.40.Lj, 85.30.-z, 85.30.De, 85.35.-p

## 1. Введение

В последние годы проявляется возрастающий интерес к сверхвысокочастотным (СВЧ) транзисторам и монолитным интегральным схемам (МИС) на широкозонной гетеросистеме AlGaN/GaN. Большая ширина запрещенной зоны  $E_g$  ( $E_g = 3.47$  эВ для GaN и 6.2 эВ для AlN [1]) и соответственно большие напряжения пробоя ( $U_d^{\text{BD}} > 100$  В), высокая слоевая концентрация электронов  $n_e > 10^{13}$  см $^{-2}$ , обусловленная спонтанной и пьезоэлектрической поляризацией, и высокая скорость электронов делают эту гетеросистему чрезвычайно перспективной для мощных СВЧ-приборов. К настоящему времени наиболее интенсивно исследованы AlGaN/GaN-НЕМТ — (High Electron Mobility Transistor) — транзисторы сантиметрового диапазона. На частоте  $f = 4$  ГГц достигнута рекордно высокая удельная выходная мощность  $P_{\text{out}} > 32$  Вт/мм [2]. Впечатляющие результаты получены и для транзисторов миллиметрового диапазона. Достигнутые здесь предельные частоты усиления по току  $f_t$  и по мощности  $f_{\max}$  составляют:  $f_t = 163$  ГГц [3] и  $f_{\max} = 230$  ГГц [4]. Однако для реализации столь высоких частот, как правило, приходится жертвовать большими пробивными напряжениями. В то же время возможности частотных свойств транзисторов с высокими пробивными напряжениями (выше 100 В) исследованы мало. Недостаточно

исследованы и зависимости частотных характеристик AlGaN/GaN-транзисторов от размеров и топологии секционированных затворов, применяемых в мощных транзисторах, хотя эти данные чрезвычайно важны для разработки оптимальных конструкций мощных транзисторов и МИС на различные частоты.

Настоящая работа посвящена исследованию AlGaN/GaN-СВЧ НЕМТ-транзисторов с длинами затворов  $L_g$  от 170 нм до 0.5 мкм, включая исследование зависимости их частотных характеристик от размеров и топологии секционированных затворов, с целью нахождения затворных конструкций, оптимальных для функционирования в различных частотных диапазонах. Также исследуются возможности частотных свойств короткоканальных ( $L_g < 200$  нм) AlGaN/GaN-транзисторов с высокими пробивными напряжениями (выше 100 В). Предварительные результаты этих исследований были представлены в [5].

## 2. Выращивание гетероструктур AlGaN/GaN

Гетероструктуры Al<sub>0.27</sub>Ga<sub>0.73</sub>N/GAN для мощных НЕМТ-транзисторов выращивались на подложках сапфира с ориентацией (0001) методом газофазной epitаксии путем разложения металлогорганических соединений при пониженном давлении [6]. Температура

<sup>¶</sup> E-mail: vgmokerov@yandex.ru

роста составляла 1030–1070°C. Выращивание слоев гетероструктур осуществлялось в следующей последовательности. Сначала на подложках сапфира формировался зародышевый слой, затем выращивались: нелегированный ( $N_{bg} < 10^{15}$  см $^{-3}$ ) буферный слой GaN толщиной 3 мкм, нелегированный слой Al<sub>0.27</sub>Ga<sub>0.73</sub>As ( $N_{bg} < 10^{16}$  см $^{-3}$ ) толщиной 33 нм. Холловские значения электронной подвижности  $\mu_e$  и концентрацией  $n_e$  составляли:  $\mu_e = 1370$  см $^2$ /В·с при  $T = 300$  К и 4500 см $^2$ /В·с при  $T = 77.8$  К;  $n_e = 9 \cdot 10^{12}$  см $^{-2}$  при  $T = 300$  К и  $1.0 \cdot 10^{13}$  см $^{-2}$  при  $T = 77.8$  К.

### 3. Технология формирования НЕМТ-транзисторов

Изготовление НЕМТ-транзисторов на выращенных гетероструктурах Al<sub>0.27</sub>Ga<sub>0.73</sub>N/GaN включало следующие операции [5]: формирование омических контактов Ti(20 нм)/Al(100 нм)/Ni(40 нм)/Au(150 нм) и их вжигание при  $T = 830$  °C в течение 30 с; Ar $^+$ -ионно-лучевое травление меза-областей для межприборной изоляции; пассивация поверхности посредством плазмохимического осаждения слоя Si<sub>3</sub>N<sub>4</sub> толщиной 0.1 мкм; электронно-лучевая литография формирования грибообразных затворов с применением трехслойной системы электроно-резистов PMMA/Сополимер/PMMA, последующее напыление затворной металлизации Ni(40 нм)/Au(460 нм) и операция „взрыва“ электронорезистов; формирование электрических межсоединений 1-го уровня; формирование электрических межсоединений 2-го уровня, включая воздушные мостики с гальванически осажденными толстыми (2–4 мкм) слоями металлизации; и наконец, утонение пластины.

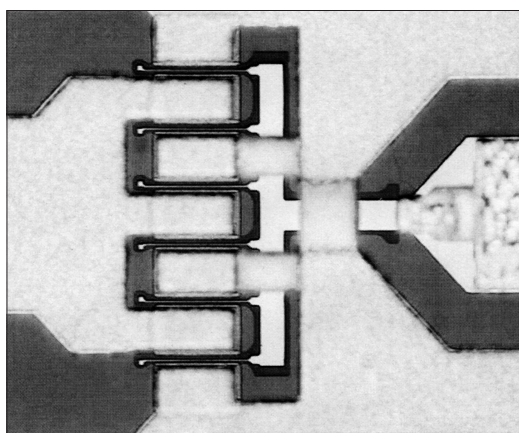
Для изучения зависимостей частотных характеристик транзисторов от длины  $L_g$ , ширины  $W_g$  секционированных затворов и от их топологии, в целях определения оптимальных конструкций мощных транзисторов для функционирования в различных частотных диапазонах был

разработан специальный исследовательский комплект из различных типов транзисторов с секционированными затворами, отличающимися длиной  $L_g$ , суммарной шириной  $W_g = nW_g^n$  и топологией затворов, где  $n$  — количество затворных секций и  $W_g^n$  — их ширины. Этот комплект включал транзисторы с длинами затворов  $L_g$ : 170, 220, 260 нм и 0.5 мкм со следующими комбинациями  $W_g^n$  и  $n$  в выражении  $W_g = nW_g^n$ : 2×50, 2×120, 2×200, 4×60, 4×100, 4×150, 6×40, 10×75 и 10×120 мкм. Таким образом, количество секций  $n$  в исследуемых транзисторах изменялось от 2-х до 10, размеры секций  $W_g^n$  — от 40 до 200 мкм, а полная ширина  $W_g$  — от 100 до 1200 мкм. Расстояние между секциями равнялось 22 мкм. На рис. 1 представлена фотография 6-секционного ( $n = 6$ ) транзистора с длиной затвора  $L_g = 0.26$  мкм и с ширинами  $W_g$  и  $W_g^n = 240$  и 40 мкм соответственно.

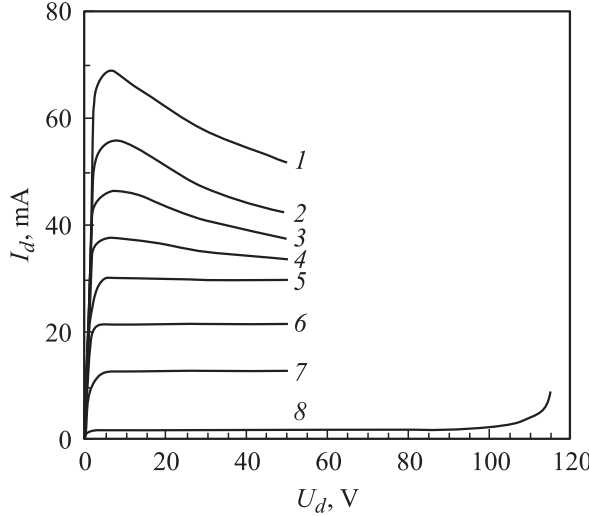
### 4. Вольт-амперные и вольт-фарадные характеристики транзисторов

Выходные вольт-амперные  $I_d - U_d$ -характеристики исследуемых транзисторов измерялись зондовым методом непосредственно на рабочих пластинах, до и после пассивации поверхности слоем Si<sub>3</sub>N<sub>4</sub>. Установлено, что пассивация приводит к улучшению  $I_d - U_d$ -характеристик, включая: уменьшение напряжения насыщения на стоке  $U_d^{\text{sat}}$ , увеличение тока насыщения стока  $I_d^{\text{sat}}$  и ослабление „коллапса“ тока стока  $I_d$  при больших напряжениях на стоке  $U_d$ . В связи с этим в дальнейшем были исследованы только пассивированные транзисторы. Однако проявление эффекта саморазогрева и связанной с ним деградации тока в канале  $I_d$  не позволило провести в статическом режиме корректные измерения  $I_d - U_d$ -характеристики в достаточно широком диапазоне токов  $I_d$  (до 600 мА/мм) и напряжений  $U_d$  (до 50 В). Кроме того, наложение эффекта саморазогрева на так называемый „коллапс“ тока  $I_d$ , связанный с захватом электронов на глубокие ловушки, затрудняло изучение в статическом режиме роль каждого из них в отдельности. Поэтому измерения  $I_d - U_d$ -статических характеристик были ограничены токами  $I_d < 300$  мА/мм и напряжениями  $U_d < 20$  В. В случае предельно малых токов  $I_d < 20$  мА/мм (при  $U_g < -4$  В) диапазон измерений  $U_d$  мог быть расширен до напряжений  $U_d = U_d^{\text{BD}} = 115$  В.

Для уменьшения саморазогрева транзисторов при больших токах  $I_d$  и напряжениях  $U_d$  была разработана методика импульсных измерений, в которой длительность импульсов  $\tau_{\text{pul}}$  варьировалась от 200 нс до десятков мс при скважности от 15 до 150. Максимальная мощность в импульсе  $P_{\text{pul}}$  при напряжении  $U_d = 50$  В и токе  $I_d = 600$  мА/мм достигала рекордно высоких значений для транзисторов на сапфировых подложках 30 Вт/мм. Установлено, что при  $\tau_{\text{pul}} > 10$ –30 мс и токе  $I_d = 600$  мА/мм, в результате саморазогрева транзисторы „выгорали“ при напряжении на стоке  $U_d > 30$  В.



**Рис. 1.** Фотография секционного НЕМТ-транзистора AlGaN/GaN с длиной затвора  $L_g = 0.26$  мкм, с шириной  $W_g = nW_g^n = 6 \cdot 40$  мкм = 240 мкм.



**Рис. 2.** Импульсные и статические выходные вольт-амперные  $I_d-U_d$ -характеристики при различных значениях напряжения  $U_{gs}$  для транзистора с длиной затвора  $L_g = 0.22$  мкм и шириной затвора  $W_g = 2 \times 50$  мкм. Кривые 1–7 — импульсные  $I_d-U_d$ -характеристики с длительностью  $U_d$ -импульса  $\tau_{\text{pul}} = 200$  нс,  $U_g$ , В: 1 — 0, 2 — −0.5, 3 — −1.0, 4 — −1.5, 5 — −2.0, 6 — −2.5, 7 — −3.0. Кривая 8 — статическая  $I_d-U_d$ -характеристика при  $U_g = -4.0$  В.

В то же время для напряжений  $U_g < -1.5$  В и соответственно  $I_d < 350$  мА/мм, для импульсов с  $\tau_{\text{pul}} = 200$  нс и скважностью 150 саморазогрев почти не проявлялся. Из-за возможностей используемого генератора импульсов диапазон импульсных измерений был ограничен напряжениями до  $U_d = 50$  В. На рис. 2 приведены результаты измерений импульсных  $I_d-U_d$ -характеристик с  $\tau_{\text{pul}} = 200$  нс для транзистора с длиной затвора  $L_g = 0.26$  мкм и шириной  $W_g = 2 \times 50$  мкм (кривые 1–7). Здесь же приведена статическая  $I_d-U_d$ -характеристика (кривая 8), полученная в режиме малого тока  $I_d$  при  $U_d$  до 115 В. Из рис. 2 следует, что максимальная плотность тока  $I_d^{\max}$  достигает 600 мА/мм, напряжение насыщения на стоке  $U_d^{\text{sat}}$  равняется 3 В, максимальная крутизна  $g_m^{\max} = \frac{1}{W_g} \frac{dI_d}{dU_g}$  составляет 240 мС/мм, максимальное напряжение на стоке  $U_d^{\text{BD}}$  составляет около 115 В.

Из рис. 2 также следует, что заметного „коллапса“ тока  $I_d$  в исследуемом диапазоне  $U_d$  (до 50 В) не наблюдается. Если в качестве максимального напряжения на стоке  $U_d^{\max}$  взять значение 60 В, то получаем оценку для удельной выходной мощности  $P_{\text{out}}^*$  транзистора:

$$P_{\text{out}}^* = \frac{(U_d^{\max} - U_d^{\text{sat}}) I_d^{\max}}{8} \cong 4.2 \text{ Вт/мм.} \quad (1)$$

Одновременно необходимо отметить, что, как видно из рис. 2, при напряжениях на затворе  $U_{gs} > -1.5$  В и токах  $I_d > 350$  мА/мм, даже при импульсных измерениях с  $\tau_{\text{pul}} = 200$  нс, на  $I_d-U_d$ -характеристиках с увеличением напряжения на стоке  $U_d$  наблюдался линейный спад тока

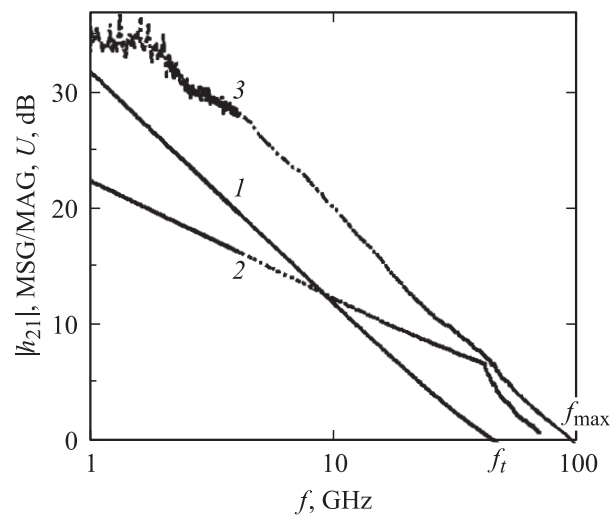
насыщения  $I_d^{\text{sat}}$ , обусловленный саморазогревом транзистора, т. е. повышением температуры приборного канала. Относительное уменьшение максимального тока насыщения  $\Delta I_d/I_d$ , наблюдаемое при  $U_{gs} = 0$  и  $U_d = 50$  В, т. е. когда подводимая к транзистору электрическая мощность достигала 3 Вт (30 Вт/мм), составило 27%.

Следует особо отметить превосходное качество межприборной изоляции и соответственно отсутствие токов утечки между транзисторными меза-областями. Плотность тока утечки изоляции менее 0.5 мА/мм при напряженности электрического поля 240 кВ/см. Высокое качество изоляции позволило получить и высокие значения максимальных напряжений транзисторов. В рассматриваемых транзисторах ток затвора  $I_g < 1$  мА/мм при  $U_{gd} = 60-70$  В и ток стока  $I_d < 3$  мА/мм при  $U_d > 100$  В ( $U_{gs} \leq U_{gs}^{\text{th}} = -4$  В).

В результате исследований вольт-фарадных  $C_{gs}-U_{gs}$ -характеристик определены пороговое напряжение транзисторов  $U_{th}$  и емкость затвор-исток  $C_{gs}$ . Пороговое напряжение  $U_{th}$  составило −4 В, а зависящая от длины затвора  $L_g$  удельная емкость  $\frac{C_{gs}}{W_g} = \frac{L_g \epsilon}{d_B}$  (где  $d_B$  — толщина гетеробарьерного слоя Al<sub>0.27</sub>Ga<sub>0.73</sub>N и  $\epsilon$  — его диэлектрическая проницаемость) при уменьшении  $L_g$  от 0.5 мкм до 170 нм изменялась от 2.2 до 1.5 пФ/мм.

## 5. СВЧ-характеристики транзисторов

Исследование СВЧ-характеристик разработанных транзисторов проводилось на основе измерений S-параметров непосредственно на рабочих пластинах, с применением высокопрецизионного векторного анализатора в полосе частот от 10 МГц до 67 ГГц. Следует подчеркнуть, что S-параметры измерялись в достаточно широких диапазонах токов  $I_d$  от 50 до 250 мА/мм и на-



**Рис. 3.** Частотные зависимости модуля коэффициента передачи по току  $|h_{21}|$  (кривая 1), MSG/MAG (кривая 2) и  $U$  (кривая 3) для транзистора с  $L_g = 170$  нм и  $W_g = 2 \times 50 = 100$  мкм,  $f_t = 48$  ГГц,  $f_{\text{max}} = 100$  ГГц.

Значения  $f_t$ ,  $f_{\max}$  и MAG/MSG на частотах  $F = 10, 20$  и  $30$  ГГц для транзисторов с длиной затворов  $L_g$  от  $0.17$  до  $0.5$  мкм и шириной затворов от  $100$  до  $1200$  мкм

$L_g$ , мкм	$W_g = nW_g^n$ , мкм	$f_t$ , ГГц	$f_{\max}$ , ГГц	MSG/MAG $f = 10$ ГГц дБ	MSG/MAG $f = 20$ ГГц дБ	MSG/MAG $f = 30$ ГГц дБ
0.17	$2 \times 50$	48	100	12.8	10	8.5
	$2 \times 50$	29	83	12.4	9.8	7.3
	$2 \times 120$	32	62	12.4	9.8	5.2
	$2 \times 200$	29	41	12.8	5.8	2.4
	$4 \times 60$	23	70.3	12.4	9.7	5.4
	$4 \times 100$	22.2	55	13.0	7.4	4
	$4 \times 150$	24.3	45	13.2	6.3	3
	$6 \times 40$	21.2	78.7	12.3	9.5	6
	$10 \times 75$	19.8	42.4	12.0	5.3	—
	$10 \times 120$	20.2	33	12.0	3.9	—
0.22	$2 \times 50$	13.05	29.8	10.2		
	$4 \times 60$	16.1	46.3	11.7		
	$6 \times 40$	10.3	35.7	11.0		
	$10 \times 75$	15.68	32	11.4		
	$10 \times 120$	15.80	25.2	9.9		
	$2 \times 50$					
	$4 \times 60$					
	$6 \times 40$					
	$10 \times 75$					
	$10 \times 120$					
0.26	$2 \times 50$					
	$4 \times 60$					
	$6 \times 40$					
	$10 \times 75$					
	$10 \times 120$					
	$2 \times 50$					
	$4 \times 60$					
	$6 \times 40$					
	$10 \times 75$					
	$10 \times 120$					
0.5	$2 \times 50$					
	$4 \times 60$					
	$6 \times 40$					
	$10 \times 75$					
	$10 \times 120$					
	$2 \times 50$					
	$4 \times 60$					
	$6 \times 40$					
	$10 \times 75$					
	$10 \times 120$					

пряжений  $U_d$  до  $20$  В. При этом величина рассеиваемой мощности транзисторов была существенной и варьировалась от  $0.5$  до  $1.7$  Вт/мм. По измеренным  $S$ -параметрам в указанных диапазонах  $I_d$  и  $U_d$  рассчитывались частотные характеристики  $|h_{21}|$ -модуля коэффициента передачи по току (current gain), а также максимально достижимого/стабильного коэффициента усиления по мощности MAG/MSG (maximum available gain/maximum stable gain) и коэффициента усиления Масона  $U$  (unilateral gain). Затем путем стандартных экстраполяций частотных зависимостей  $|h_{21}|$ , MAG/MSG,  $U$  к более высоким частотам, построенных в логарифмическом масштабе в виде прямых с наклоном  $20$  дБ/дек ( $10$  дБ/дек для MSG), определялись их точки пересечения с осью частот, которые и соответствовали предельным частотам усиления по току  $f_t$  и по мощности  $f_{\max}$ . По зависимости MAG/MSG от частоты  $f$  также оценивались коэффициенты усиления  $K_p$  на различных частотах. Результаты такого комплекса исследований для короткоканального транзистора с длиной затвора  $L_g = 170$  нм и шириной  $W_g = 2 \times 50$  мкм представлены на рис. 3. При этом установлено, что с увеличением напряжения  $U_d$  до  $20$  В, тока стока  $I_d$  до  $170$  мА/мм и соответственно рассеиваемой мощности от  $0.5$  до  $1.7$  Вт/мм деградации частот  $f_t$  и  $f_{\max}$  не только не происходит, но даже имело место некоторое увеличение частоты  $f_{\max}$ . Это означает, что „коллапс тока“, связанный с перезарядкой электронных ловушек в исследуемом, достаточно широком диапазоне токов  $I_d$  и напряжений  $U_d$ , заметно не проявляется. Как видно из рис. 3, для транзистора с длиной затвора  $L_g = 170$  нм и шириной  $W_g = 2 \times 50$  мкм, при  $I_d = 30$  мА/мм и  $U_d = 5$  В предельные частоты усиления по току  $f_t$  и по мощности

$f_{\max}$  равны  $48$  и  $100$  ГГц соответственно. В таблице представлены результаты измерений предельных частот усиления  $f_t$  и  $f_{\max}$  и коэффициентов усиления  $K_p$  (MSG/MAG) на частотах  $f = 10, 20$  и  $30$  ГГц для транзисторов с различными длинами затворов  $L_g$  и их ширинами  $W_g = nW_g^n$ , отличающихся количеством отдельных секций  $n$  и их шириной  $W_g^n$ . На примере серии транзисторов с длиной затвора  $L_g = 0.26$  мкм была исследована взаимосвязь частоты  $f_t$  с ширинами затворов  $W_g = nW_g^n$ , ширинами секций  $W_g^n$  и их количеством  $n$ . Как видно из таблицы, какая-либо корреляция здесь

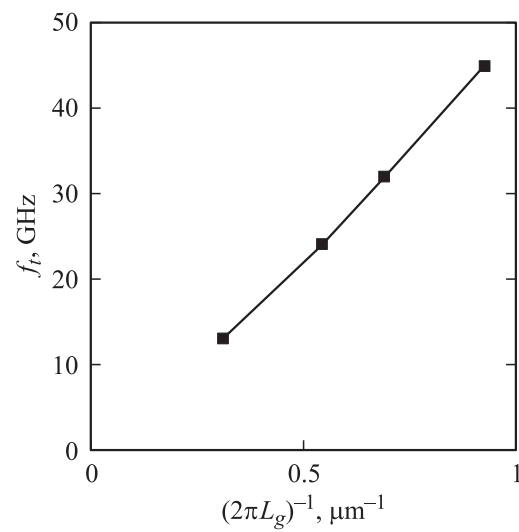


Рис. 4. Зависимость предельной частоты усиления по току  $f_t$  от величины, обратной длины затвора  $L_g$  ( $f_t$  от  $(2\pi L_g)^{-1}$ ) для транзисторов с различной шириной затворов ( $W_g = nW_g^n$ ).

практически отсутствует: при изменении  $W_g$  в 12 раз,  $W_g^n$  — в 5 раз и  $n$  — в 5 раз изменение  $f_t$  не превышает 11%. Этот результат согласуется с известным выражением для предельной частоты усиления по току  $f_t$ :

$$f_t = \left[ 2\pi \left( \frac{L_g}{v_e} + C_{gs}(R_s + R_d) \right) \right]^{-1}, \quad (2)$$

где  $R_s$  и  $R_d$  — сопротивления истока и стока,  $C_{gs}$  — емкость затвор–исток,  $v_e$  — дрейфовая скорость электронов. Полученные данные демонстрируют высокую воспроизводимость технологии изготовления транзисторов, обеспечивая небольшие технологические разбросы по параметрам и транзисторов, и гетероструктур.

Исходя из данных, представленных в таблице, была проанализирована показанная на рис. 4 зависимость предельной частоты усиления  $f_t$  от величины, обратной длине затвора  $(2\pi L_g)^{-1}$ , прямолинейность которой подтверждает отсутствие взаимосвязи  $f_t$  с  $W_g$ ,  $W_g^n$  и  $n$ . Указанная зависимость также соответствует выражению (2), если в нем пренебречь паразитным вкладом  $C_{gs}(R_s + R_d)$  по сравнению с  $L_g/v_e$  — временем пролета электронов через приборный канал.

## 6. Зависимости предельной частоты усиления по мощности $f_{\max}$ и коеффициента усиления $K_p$ от параметров топологии

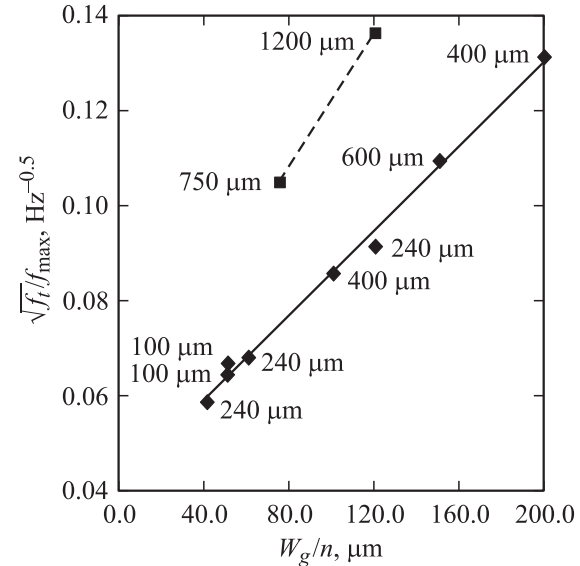
В отличие от частоты  $f_t$  частота  $f_{\max}$  зависит не только от длины затвора  $L_g$ , но и от его сопротивления  $R_g$ , которое для секционированных транзисторов равно  $1/3 \cdot R_g^* \cdot W_g/n^2$ , т.е.  $f_{\max}$  зависит от ширины затворных секций  $W_g^n$ , хотя при большом количестве секций может зависеть и от их количества  $n$ . Здесь  $R_g^*$  — удельное сопротивление затвора.

Прежде чем приступить к анализу измеренных значений предельной частоты усиления по мощности, рассмотрим достаточно простое аналитическое выражение для  $f_{\max}$  [7]:

$$f_{\max} = \frac{f_t}{\sqrt{(R_g + R_S + R_i) \left( g_D + g_m \frac{C_{gd}}{C_{gs}} \right)}}. \quad (3)$$

Здесь  $g_D$  — выходная проводимость,  $g_m$  — крутизна,  $C_{gd}$  и  $C_{gs}$  — емкости затвор–сток и затвор–исток,  $R_i \approx 1/5g_m$  — внутреннее сопротивление затвор–исток,  $R_S$  — сопротивление исток–затвор. Так как  $f_t \approx g_m/C_{gs}$ , выражение (3) можно переписать в виде

$$f_{\max} = \frac{f_t}{\sqrt{(R_g + R_S + R_i) \left( \frac{g_D}{f_t} + C_{gd} \right)}}. \quad (4)$$



**Рис. 5.** Зависимость отношения  $\sqrt{f_t}/f_{\max}$  для измеренных значений  $f_t$  и  $f_{\max}$  (см. таблицу) от ширины затворных секций  $W_g/n = W_g^n$  для всех исследованных транзисторов с различной длиной  $L_g$  и шириной  $W_g$  затворов (см. таблицу). В поле графика указана также суммарная ширина затворов.

Переходя от полных (интегральных) значений представленных здесь параметров к их удельным значениям на миллиметр ширины затвора (с индексом \*), запишем выражение для  $f_{\max}$  как функцию от суммарной ширины затвора  $W_g$ :

$$f_{\max}(W_g) = \sqrt{\frac{f_t}{\left( \frac{1}{3} R_g^* \left( \frac{W_g}{n} \right)^2 + R_S^* + R_i^* \right) \left( \frac{g_D^*}{f_t} + C_{gd}^* \right)}}. \quad (5)$$

Напомним, что  $R_g^*$  имеет размерность [Ом/мм], а  $R_S^*$  и  $R_i^*$  имеют размерность [Ом·мм]. Таким образом,  $f_{\max}$  при прочих равных условиях является функцией ширины затворной секции  $W_g/n$ . Для проверки данного вывода удобно построить зависимость измеренных значений величины  $\sqrt{f_t}/f_{\max}$  от ширины затворной секции  $W_g/n$  для всех исследованных нами транзисторов. В этом случае на результат почти не будет влиять длина затвора (при условии малости  $g_D/f_t$  по сравнению с  $C_{gd}$ , что выполняется в нашем случае). Данная зависимость приведена на рис. 5, где также указаны полные ширины затворов  $W_g$ . Для ширин затворной секции  $W_g^n$  от 40 до 200 мкм, для количества секций от 2 до 6, для длин затвора 0.17–0.26 мкм все измеренные значения укладываются на одну и ту же прямую, отсекающую значение 0.04 на оси ординат при нулевой ширине затворной секции. Это означает, например, что для транзистора с  $L_g = 0.17$  мкм, имеющего  $f_t = 48$  ГГц, при уменьшении ширины затворной секции  $W_g^n$  до нуля гипотетическое предельное значение  $f_{\max}$  будет стремиться к  $\sqrt{48}/0.04 = 173$  ГГц. Это ограничение

по  $f_{\max}$ , как следует из выражения (5), связано с  $R \cdot C$ -вкладом от суммарного сопротивления  $R_s + R_i$  и емкости обратной связи  $C_{gd}$ . Влияние члена  $g_D/f_t$  в нашем случае мало, так как зависимость, приведенная на рис. 5, одинакова для транзисторов с различными  $f_t$  ( $L_g = 0.17\text{--}0.26\text{ мкм}$ ). Подчеркнем, что малые значения выходной проводимости  $g_D$  подтверждаются данными ВАХ на рис. 2. Таким образом, частота  $f_{\max}$  уменьшается при увеличении ширины секций  $W_g/n$  для топологии секционированных затворов с количеством секций  $n$  от 2 до 6 и не зависит от их количества  $n$  и суммарной ширины  $W_g$ . Однако в нашем случае эта закономерность не соблюдается для транзисторов с наибольшим количеством секций, т. е.  $n = 10$  ( $W_g = 750$  и  $1200\text{ мкм}$  на рис. 5). Наклон прямой на рис. 5 для таких транзисторов заметно больше, но значение  $\sqrt{f_t}/f_{\max}$  при нулевой ширине секции оказывается не намного больше. Из этого следует, что транзисторы с  $n = 10$  имеют большее значение удельного сопротивления затвора. Поскольку сами затворы примерно одинаковы для всех значений  $n$ , дополнительный вклад в сопротивление здесь, по-видимому, дает достаточно длинная затворная шина, тем более что расстояние между затворными секциями в нашем случае довольно велико —  $26\text{ мкм}$ . Такое расстояние было выбрано для ограничения рабочей температуры канала и улучшения теплоотвода.

## 7. Выбор оптимальной топологии секционированных затворов для различных частот функционирования транзисторов

В процессе разработки мощных транзисторов одной из главных задач является получение большой выходной мощности при сохранении достаточно большого усиления. Это может быть достигнуто за счет увеличения суммарной ширины секционированных затворов  $W_g$ . Однако, как следует из рис. 5, для обеспечения приемлемых коэффициентов усиления  $K_p$  (т. е. достаточно высоких  $f_{\max}$ ) длина  $L_g$  и ширина затвора  $W_g$  не должны превышать некоторых предельных значений  $L_g^{\max}, W_g^{\max}/n$  и  $n$ . Если задаться минимальным значением коэффициента усиления  $K_p > 7\text{дБ}$ , что практически оправдано, то получим следующие значения максимальных ширин затворов  $W_g^{\max}$  для различных частот. В случае транзисторов с длиной затвора  $L_g = 0.26\text{ мкм}$ , изготовленных по разработанной нами технологии, получаем, что для  $f = 10\text{--}12\text{ ГГц}$   $W_g^{\max} = 1200\text{ мкм}$ , для  $f = 20\text{ ГГц}$   $W_g^{\max} = 720\text{ мкм}$ . Для функционирования в диапазоне частот  $\Delta f = 30\text{--}40\text{ ГГц}$  длина затвора  $L_g$  не должна превышать  $170\text{ нм}$ , при этом максимальная ширина затворов  $W_g^{\max}$  составляет  $W_g^{\max} = 6 \times 50 = 300\text{ мкм}$ . Транзисторы с такими параметрами секционированных затворов следует рассматривать в качестве базовых ячеек для монолитных интегральных схем (МИС) на соответствующие диапазоны частот.

## 8. Мощностные характеристики базовых AlGaN/GaN-HEMT-транзисторов

Как следует из выражения (1), удельная выходная мощность  $P_{\text{out}}^*$  исследуемых транзисторов составляет  $4.2\text{ Вт/мм}$ . В соответствии с этим получаем следующие значения выходной мощности  $P_{\text{out}}^{\text{bas}}$  для базовых транзисторов на различных частотах. При  $L_g = 0.26\text{ мкм}$  на частотах  $f = 10\text{--}12\text{ ГГц}$  выходная мощность  $P_{\text{out}}^{\text{bas}} = 4.5\text{ Вт}$ , на частоте  $f = 20\text{ ГГц} = 3\text{ Вт}$ . При  $L_g = 170\text{ нм}$  на частотах  $f = 30\text{--}40\text{ ГГц}$  выходная мощность  $P_{\text{out}}^{\text{bas}} = 1.26\text{ Вт}$ . Таким образом, с увеличением рабочей частоты длина  $L_g$ , ширина  $W_g^{\max}$  затворов и выходная мощность  $P_{\text{out}}^{\text{bas}}$  базовых транзисторов должны уменьшаться. Поэтому при проектировании СВЧ МИС на более высоких частотах для обеспечения достаточно большой выходной мощности потребуется большее количество параллельно включенных базовых транзисторов в каждом каскаде.

К изложенным результатам следует добавить, что достоинством разработанной технологии короткоканальных  $170\text{ нм-AlGaN/GaN-HEMT-транзисторов}$  является удачное сочетание достаточно высокой предельной частоты усиления по мощности  $f_{\max} = 100\text{ ГГц}$  с большим пробивным напряжением транзистора  $U_d^{\text{BD}} = 115\text{ В}$ . Это позволяет создавать на их основе высокоэффективные усилители мощности не только сантиметрового, но и более высокочастотного миллиметрового диапазона (до  $40\text{ ГГц}$ ).

## 9. Заключение

Исследованы частотные характеристики широкого набора AlGaN/GaN-HEMT-транзисторов с различными размерами и топологией секционированных затворов. Гетероструктуры  $\text{Al}_{0.27}\text{Ga}_{0.73}\text{N}/\text{GaN}$  выращивались методом газофазной эпитаксии из металлоганических соединений на подложках сапфира с ориентацией (0001). Электронная подвижность  $\mu_e$  и концентрация  $n_e$  при  $T = 300\text{ К}$  составляли:  $\mu_e = 1370\text{ см}^2/\text{В}\cdot\text{с}$  и  $n_e = 9 \cdot 10^{12}\text{ см}^{-2}$ . С применением электронной литографии на них изготовлены HEMT-транзисторы с длинами затворов  $L_g$  от  $170\text{ нм}$  до  $0.5\text{ мкм}$  и с ширинами затворов  $W_g$  от  $100$  до  $1200\text{ мкм}$ . Максимальная крутизна  $g_m^{\max}$  составляла  $240\text{ мС/мм}$ , максимальная плотность тока  $I_d^{\max} > 600\text{ мА/мм}$  и пробивные напряжения  $U_d^{\text{BD}} = 115\text{--}120\text{ В}$ . В результате исследований S-параметров для всего набора транзисторов определены предельные частоты усиления по току  $f_t$ , по мощности  $f_{\max}$  и коэффициенты усиления  $K_p$  на частотах  $10, 20, 30\text{ ГГц}$ . Частота  $f_t$ , обратно пропорционально зависящая от длины затворов  $L_g$ , при  $L_g = 170\text{ нм}$  достигает значения  $48\text{ ГГц}$ . В отличие от  $f_t$  частота  $f_{\max}$  зависит не только от  $L_g$ , но и от размеров затворных секций  $W_g^n$ , а при их большом количестве  $n$  и от  $n$ . При  $L_g = 170\text{ нм}$

и  $W_g = 100$  мкм частота  $f_{\max}$  достигает 100 ГГц. В результате исследований частотных зависимостей коэффициента усиления при различных длинах затворов  $L_g$  и их ширинах  $W_g$  найдены оптимальные значения  $W_g$  и выходной мощности базовых транзисторов  $P_{\text{out}}^{\text{bas}}$  для различных частот функционирования. В разработанной 170 нм-AlGaN/GaN-НЕМТ-технологии удачно сочетаются высокие частотные характеристики и большие пробивные напряжения, что делает ее привлекательной для усилителей мощностей на частотах до 40 ГГц.

## Список литературы

- [1] Takash Jnour, T. Nakajama, Y. Ando. IEEE Trans. Electron. Dev., **55** (2), 483 (2008).
- [2] Y.-F. Wu, A. Saxler, M. Moore, R.P. Smith, S. Sheppard, P.M. Chavarkar, T. Wisleder, U.K. Mishra, P. Parikh. IEEE Electron. Dev. Lett., **25** (3), 117 (2004).
- [3] M. Higashiwaki, N. Onojima, T. Matsui, T. Minura. *Int. Conf. Nitride Semiconductors* (Bremen, Germany, 2005) Paper WE-D2-4.
- [4] T. Palacios, A. Chakraborty, S. Heikman, S. Keller, S.P. DenBaars, U.K. Mishra. IEEE Electron. Dev. Lett., **27** (1), 15 (2006).
- [5] В.Г. Мокеров, А.А. Кузнецов, Ю.В. Федоров, Е.Н. Еньюшкина, А.С. Бугаев, А.Ю. Павлов, Д.Л. Гнатюк, А.В. Зуев, Р.Р. Галиев, Ю.Н. Свешников, А.Ф. Цацульников, В.М. Устинов. Тез. докл. 6-й Всерос. конф. „Нитриды галлия, индия и алюминия — структуры и приборы“ (СПб, Россия, 2008) с. 152.
- [6] А.К. Конорев. Proc. 9th Int. Symp. Nanostructures, Physics and Technol. (St.Petersburg, Russia, 2001) p. 230.
- [7] G. Dambrine, T. Parenty, S. Bollaert, H. Happy, A. Cappy, J. Mateos, T. Nahri, J.C. Orthoc, M. Trier, P. Bander, P. Landry. Proc. Conf. 11th Eur. Gallium Arsenide and other Compound Semiconductors Application Symposium, ICM (Munich, Germany, 2003) p. 473.

Редактор Л.В. Беляков

## AlGaN/GaN-HEMTs with breakdown voltage higher than 100 V and maximum oscillation frequency $f_{\max}$ up to 100 GHz

V.G. Mokerov, A.L. Kuznetsov, Yu.V. Fedorov,  
A.S. Bugaev, A.Yu. Pavlov, E.N. Enushkina,  
D.L. Gnatjuk, A.V. Zuev, R.R. Galiev, E.N. Ovcharenko,  
Yu.N. Sveshnikov\*, A.F. Zazulnikov†, V.M. Ustinov†

Institute of UHF Semiconductor Electronics,  
Russian Academy of Sciences,  
117105 Moscow, Russia

\* Elma-Malahit-Concern Energomere,  
124460 Zelenograd, Russia

† St. Petersburg Physics and Technology Centre  
for Research and Education,  
Russian Academy of Sciences,  
194021 St. Petersburg, Russia

**Abstract**  $N\text{-Al}_{0.27}\text{Ga}_{0.73}\text{N}/\text{GaN}$ -HEMTs with the different gate lengths  $L_g$  from 170 nm to 0.5  $\mu\text{m}$  and gate widths  $W_g$  from 100 to 1200  $\mu\text{m}$  have been investigated. The  $S$ -parameters were measured, and the current gain cut-off frequency  $f_t$ , the maximum oscillation frequency  $f_{\max}$  and the power gain MSG/MAG and Mason's coefficients were investigated in the frequency range from 10 MHz to 67 GHz as a function of gate length and gate width. It was found, that  $f_t$  and  $f_{\max}$  achieve their maximum values of  $f_t = 48$  GHz and  $f_{\max} = 100$  GHz at  $L_g = 170$  nm and  $W_g = 100$   $\mu\text{m}$ . The optimal values of  $W_g$  and output power  $P_{\text{out}}$  of the basic transistors have been determined for the different frequencies of operation. It was also demonstrated, that the 170 nm-Al<sub>0.27</sub>Ga<sub>0.73</sub>N/GaN-HEMTs-technology combines both the good frequency characteristics and the high breakdown voltages and is very promising for high frequency application — up to 40 GHz.